

ISSN 2575-7999

# Евразийский Союз Ученых (ЕСУ)

Ежемесячный научный журнал

№ 8 / 2014

ЧАСТЬ 8

Редакционная коллегия:

д.п.н., профессор Арнулин Т.В. (Москва, РФ)

Члены редакционной коллегии:

Артафонов Вячеслав Борисович, кандидат юридических наук, доцент кафедры экологического и природоохранного права (Москва, РФ);

Игнатьева Ирина Евгеньевна, кандидат экономических, преподаватель кафедры менеджмента (Москва, РФ);

Кажемаев Александр Викторович, кандидат психологических, доцент кафедры финансового права (Саратов, РФ);

Кортун Ариадний Владимирович, доктор педагогических, профессор кафедры теории государства и права (Нижний Новгород, РФ);

Ровенская Елена Рафаиловна, доктор юридических наук, профессор, заведующий кафедрой судебных экспертиз, директор Института судебных экспертиз (Москва, Россия);

Селинтарова Ксения Николаевна (Москва, Россия);

Соринская Наталия Александровна, доктор социологических наук, профессор кафедры социологии и политологии;

Свищун Алексей Александрович, кандидат филологических наук, доцент, советник при ректорате (Москва, Россия);

Тюменев Дмитрий Александрович, кандидат юридических наук (Киев, Украина);

Варкумова Елена Евгеньевна, кандидат филологических, доцент кафедры филологии (Астана, Казахстан);

Каражин Владимир Владимирович, научный сотрудник архитектурного факультета, доцент (Минск, Белоруссия);

Чукмаев Александр Иванович, доктор юридических наук, профессор кафедры уголовного права (Астана, Казахстан).

Ответственный редактор

д.п.н., профессор Каиршин Дмитрий Петрович (Москва, Россия)

Международные индексы:



$$R_{\text{н.п.}} = \frac{2\sigma_{\text{ш}}}{P_1 - P_2} \quad (5)$$

где  $P_1$  и  $P_2$  – соответственно давление до и после дробо-дизонтического устройства, Па.

В второй фазе происходит выделение растворенного газа, объем которого тем больше, чем выше пересыщение жидкости газом. При пересыщении в 200 % средний размер образующихся пузырьков воздуха составляет  $d_s = 45$  мкм, коэффициент газонаполнения при этом составляет  $\varphi = 0,035$ ; при пересыщении 400 % –  $d_s = 75$  мкм;  $\varphi = 0,07$ ; при пересыщении 800 % –  $d_s = 110$  мкм,  $\varphi = 0,14$ .

В настоящее время широко распространение для очистки производственных сточных вод получили жиго-ные флотаторы, позволяющие генерировать мелкодисперсную коллоидодисперсионную смесь ( $d_s = 20-90$  мкм) из пересыщенного раствора, приготовляемого при избыточном давлении в кипятителе. При этом требуется определить оптимальный расход воздуха [5, 46].

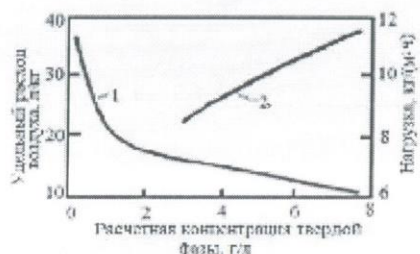


Рис. 1 – Зависимость удельного расхода воздуха и нагрузки по сухому веществу от концентрации твердой фазы:  
1 – удельный расход воздуха; 2 – максимально допустимая нагрузка по сухому веществу при  $b_w=1$  м.

Эффективность флотационного процесса также определяется температурой сточных вод, pH воды на входе в очистные сооружения, концентрацией нефтепродуктов в сточных водах, нагрузкой на очистные сооружения, устойчивостью нефтяных эмульсий.

На входе в очистные сооружение в зависимости от сезона и района производства температура сточных вод может варьироваться в интервале 10 – 25°C. Но при выбросе горячих промежуточных вод или вод котельных цехов она может превышать 40 °C, в следствие чего снижается растворимость компонентов воздуха в воде [7, 58].

Расторимость газа в воде зависит от его физических свойств, давления, температуры и для гравитацион-

Таблица 1  
Расторимость воздуха в воде при атмосферном давлении

Температура, °C	Расторимость воздуха в воде, мг/л
10	29,2
20	23,6
30	19,9
40	17,0
50	14,7
60	12,7

При повышении давления раствор воздуха в воде становится пересыщенным и избыточное количество газа выделяется из раствора в виде мелкодисперсных пузырьков. При температуре 40 °C флотация практически прекращается из-за недостаточной растворимости компонентов воздуха и эффективность очистки значительно снижается. Для качественной работы установки необходимо или распределить по времени обход сточных вод с повышенной температурой или организовать предварительное охлаждение стоков [8, 29].

Сброс сточных вод с различной pH первичным параметром времени создает проблему необходимости изменения pH путем подкисления или подщелачивания, так как коллагеназная способность зависит от реакционной среды. Обработка группировками частицами плактина, которая присутствует во всем воде, попадающими в промежуточные сточные воды бетонных и ливневых стоков также осложняет процесс флотации. Собирающуюся же на поверхности сточных вод плактина возможно удалить при помощи насоса, который будет выкачивать отстоявшееся нефтепродукты в специальную емкость, тогда эффективность гравитационной флотации возрастет.

Появление групповых вод, вместе с ними глины, следящий жеема необходимо избегать путем изоляции пропускни состояния и ремонта канализационных труб, коллекторов. При очистке воды, например, после промывания установок, на которых могут находиться поверхностно-активные вещества, могут молоть мыло, увеличивается стабильность образующихся эмульсий. Это приведет к ухудшению качества флотации. Устойчивость таких эмульсий находится в верхнем пределе от месяцев до нескольких лет. Кислотная обработка вод, содержащих

## COMPARISON OF FEATURE DESCRIPTORS

*Shimanskiy Nikolay Dmitrievich*  
Master of Kazan State University named after V.I. Ul'yanov, Kazan  
*Zhurlykassov Bakhytay Zhumayayevich*  
Lecturer of Kazan State University named after V.I. Ul'yanov, Kazan  
*Muslimova Arina Zeynalgandikhanova*  
Ph.D. Kazan State University named after V.I. Ul'yanov, Kazan

### Introduction

Feature descriptors are commonly used in lots of computer vision algorithms - object recognition, tracking, image stitching, camera calibration and etc. We used it in three different types of tasks - tracking bar AR, object recognition and visual classification. Recently we conducted a detail analysis of the state-of-the-art detectors and descriptor-generators, since we are considering to my different algorithms in some of my undergoing research projects as well as for the purpose of our paper revision.

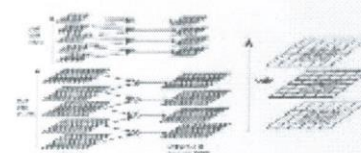
### SIFT

SIFT descriptor is a classic approach, also the "original" inspiration for most of the descriptors proposed later. Up to date, it still outperforms most of the descriptors in the field. The drawback is that it is mathematically complicated and computationally heavy. Main issues it addresses are the scaling-invariance and orientation-invariance in describing the features.

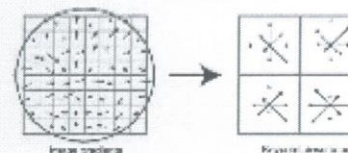
**Detector** The keypoint is selected based on the Difference of Gaussian - detecting locations that are invariant

to scale change of the image can be accomplished by searching for stable features across all possible scales, using a continuous function of scale known as scale space. To detect the keypoints, scale octave is generated and the local extrema is detected by comparing the centre pixel with the neighbors in space [1, p.5].

**Descriptor** To describe the keypoints, SIFT make uses of the local gradient values and orientations of pixels around the keypoint. A keypoint descriptor is created by first computing the gradient magnitude and orientation at each image sample point in a region around the keypoint location, as shown on the left. These are weighted by a Gaussian window, indicated by the overlaid circle [2, p.130]. These samples are then accumulated into orientation histograms summarizing the contents over 4x4 subregions, as shown on the right, with the length of each arrow corresponding to the sum of the gradient magnitude near that direction within the region.



Picture 1. Difference of Gaussians

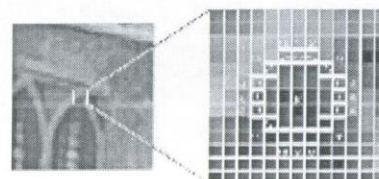


Picture 2. SIFT descriptor

**FAST**

FAST is a standalone feature detector (not descriptor generator). It is designed to be very efficient and suitable for real-time applications of any complexity. The segment test criterion operates by considering a circle of sixteen pixels around the corner candidate  $p$ . The original detector classifies  $p$  as a corner if there exists a set of  $n$  contiguous pixels in the

circle which are all brighter than the intensity of the candidate pixel  $I_p$  plus a threshold  $t$ , or all darker than  $I_p - t$ , as illustrated below [3, p.13]. To speed up the detector, a machine learning approach is adopted, and a decision tree is generated. The detail discussion is in the paper. FAST is only a detector, but it is proven to be quite reliable and used as the upstream for lots of other descriptor generating process.



Picture 3. Corner detection

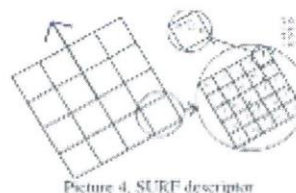
**SURF**

SURF detector is recognized as a more efficient substitution for SIFT. It has a Hessian-based detector and a distribution-based descriptor generator.

**Detector:** the detector is based on the Hessian matrix, defined as

$$H(x, \sigma) = \begin{bmatrix} L_{xx}(x, \sigma) & L_{xy}(x, \sigma) \\ L_{yx}(x, \sigma) & L_{yy}(x, \sigma) \end{bmatrix} \quad (1)$$

$L$  is the convolution of the Gaussian second order derivative with the image  $I$ . In the implementation, they replace the Gaussian kernel with a simpler box filter. It is then interpolated in scale and image space to give itself the scale-invariance properties.



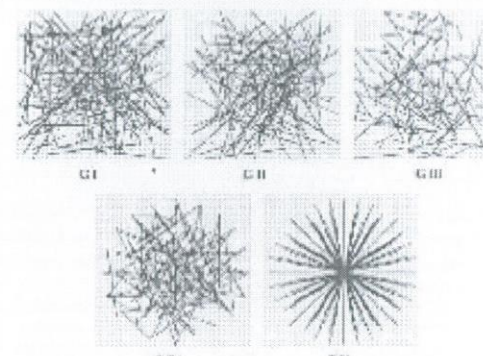
Picture 4. SURF descriptor

**BRIEF**

BRIEF descriptor is a light-weight, easy-to-implement descriptor based on binary strings. Binary test is explored in FERN algorithm, which is a Naïve-Bayesian classifier method for feature matching. BRIEF descriptor targeted to low-power devices, and compensate some of its robustness and accuracy to the efficiency. It is a standalone descriptor generator, an upstream detector, such as FAST is required.

The approach is to define a test pattern experiment indicates Gaussian distribution gives a good result and

**Descriptor:** An orientation is first assigned to the keypoint. Then a square region is constructed around the keypoint and rotated according to the orientation. The region is split up regularly into smaller 4x4 square sub-regions. This keeps important spatial information in. For each sub-region we compute a few simple features at 5x5 regularly spaced sample points. The horizontal and vertical Haar wavelet responses  $hd$  and  $vd$  are calculated and summed up over each sub-region and form a first set of entries to the feature vector. The absolute values of the responses  $|hd|$  and  $|vd|$  are also calculated, and together with the sum of vector to form a four-dimensional descriptor. And for all 4x4 sub-regions, it results in a vector of length 64 [4, p.4].



Picture 5. BRIEF – illustration of the five sampling pattern

**ORB**

ORB is an extension of BRIEF descriptor by introducing orientation invariance. It uses FAST detector with an orientation assignment by intensity centroid. To describe the feature, BRIEF pattern is rotated with orientation angles and a good pattern distribution is learned from the large rotated pattern database. A bit more detail about ORB is summarized here.

**Detector:** The detector first employ a Harris corner measure to order the FAST keypoints since FAST does not produce a measure of correctness. The orientation for the detected points are calculated based on the intensity centroid. The centroid is defined as

$$m_{pq} = \sum_{x,y} x^p y^q I(x, y) \quad (2)$$

$$C = \begin{pmatrix} m_{00} & m_{01} \\ m_{10} & m_{11} \end{pmatrix} \quad (3)$$

A vector from the corner's center to centroid can be calculated, and the orientation simply is [6, p.2]

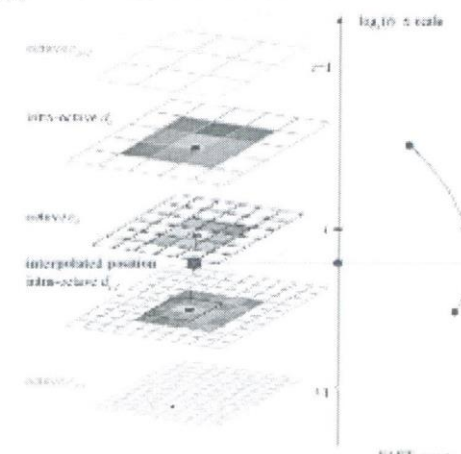
$$\theta = \arctan 2(m_{11}, m_{01}), (4)$$

**Descriptor:** The test pattern is steered according to the orientation of the keypoints. But the steered BRIEF lowers its variance because the oriented corner keypoints present a more uniform appearance to binary tests. To recover from the loss of variance in steered BRIEF, a learning method is developed to select a good subset from the binary test pool. The results BRIEF have a better diversity and lower correlations.

**BRISK**

BRISK is more recent method based on scale-space enabled FAST for testing and binary test patterns for describing.

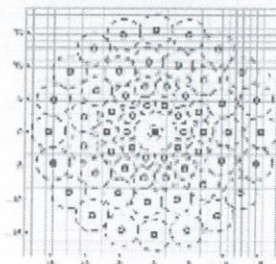
**Detector:** a keypoint is identified at octave  $ci$  by analyzing the 8 neighboring saliency scores in  $ci$  as well as in the corresponding score-patches in the immediately-neighboring layers above and below. In all three layers of interest, the local saliency maximum is sub-pixel refined before a 1D parabola is fitted along the scale-axis to determine the true scale of the keypoint [7, p.3].



Picture 6. Scale-space interest point detection

Descriptor: BRISK is a 512 bit binary descriptor that computes the weighted Gaussian average over a selected pattern of points near the keypoint. The pattern is designed as that  $N$  locations are equally spaced on circles concentric with the keypoint. For the formation of the rotation- and scale-

normalized descriptor, BRISK applies the sampling pattern rotated by alpha around the keypoint  $k$ . The bit-vector descriptor is assembled by performing all the short-distance binary intensity comparisons of point pairs.

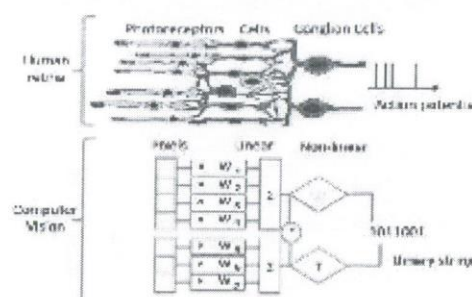


Picture 7. The BRISK sampling pattern with  $N = 60$  point

#### FREAK

FREAK is a standalone descriptor. It improves upon the sampling pattern and method of pair selection that BRISK uses. FREAK evaluates 43 weighted Gaussians at locations around the keypoint [8, p.4], but the pattern formed by these

Gaussians is biologically inspired by the retinal pattern in the eye. The pixels being averaged overlap, and are much more concentrated near the keypoint. The actual FREAK algorithm uses a cascade for comparing these pairs, and puts the 64 most important bits in front to speed up the matching process.



Picture 8. From human retina to computer vision: the biological pathways leading to action potentials are emulated by simple binary tests over pixel regions

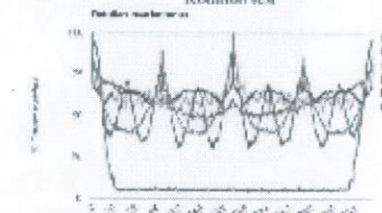
#### Test cases

For this test we have written special test framework, which allows us to easily add the new kind of descriptors and test cases and generate report data. Five quality and one performance test was done for each kind of descriptor.

- Rotation test - this test shows how the feature descriptor depends on feature orientation.
- Scaling test - this test shows how the feature descriptor depends on feature size.
- Blur test - this test shows how the feature descriptor is robust against blur.
- Lighting test - this test shows how the feature descriptor is robust against lighting.
- Pattern detection test - this test performs detection of planar object (image) on the real video. In contrast to the synthetic tests, this test gives a real picture of the overall stability of the particular descriptor.

• Performance test is a measurement of description extraction time. All quality tests works in similar way. Using a given source image we generate a synthetic test (shift transformed images corresponding feature points). The transformation algorithm depends on the particular test. For the rotation test case, it's the rotation of the source image around it's center for 360 degrees; for scaling - it's resizing of image from 0.25X to 2x size of original. Blur test uses gaussian blur with several steps and the lighting test changes the overall picture brightness. The pattern detection test deserves a special attention. This test is done on very complex and noisy video sequence. So it's challenging task for any feature descriptor algorithm to demonstrate a good results in this test. The metric for all quality tests is the percent of correct matches between the source image and the transformed one. Since we use planar object, we can easily select the users from all matches using the homography estimation. This metric gives very good and stable results. The matching of descriptors is done via brute-force matching.

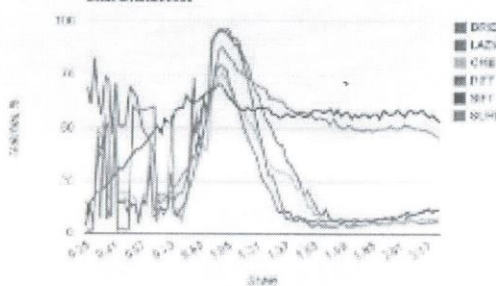
#### Rotation test



Picture 9. Rotation test

In this test we obtain pretty predictable results, because all descriptors are rotation invariant except the BRIEF. Slight changes in stability can be explained by the feature orientation

#### Scaling test

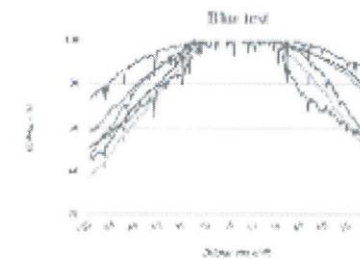


Picture 10. Scale test

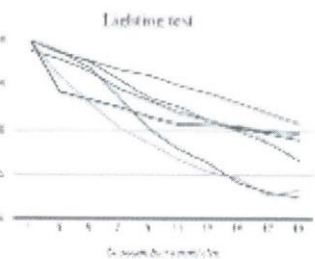
SURF and SIFT descriptors demonstrate its very good stability in this test because they do expensive keypoint size calculation. Other descriptors uses fixed-size descriptor and you can see what it leads to. Currently for LAZY descriptor we do not have separate LAZY feature detector (we use ORB detector for tests) but We're thinking on lightweight feature detector with feature size calculation, because it's a must-have feature. Actually, scale invariance is much more important rather than precise orientation calculation.

In this test we tried to simulate the motion blur which can occurs if camera moves suddenly. All descriptors demonstrate good results in this test. By "good" We mean that the more blur size is applied the less percent of correct matches is obtained. Which is expected behavior.

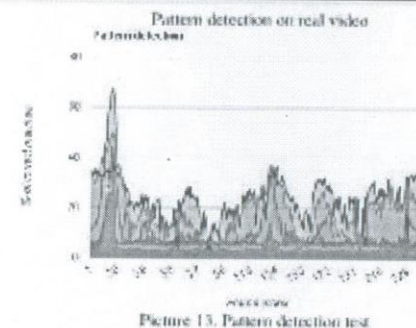
In lighting test the transformed images differs only in overall image brightness. All kinds of descriptors work well in this case. The major reason is that all descriptors extracted normalized, e.g. the norm\_2 of the descriptor vector equals 1. This normalization makes descriptor invariant to brightness changes.



Picture 11. Blur test



Picture 12. Lighting test



Picture 13. Pattern detection test.

Detection of the object on real video is the most complex task since ground truth contains rotation, scaling and motion blur. Also other objects are also present. And finally, it's not HD quality. These conditions are dictated by the actual conditions of application of computer vision. As you can see on diagram, the SIFT and SURF descriptors gives the best results, nevertheless they are far away from ideal, it's quite enough for such challenging video. Unfortunately, scale-invariant descriptors show very bad results in this test because pattern image appears in 1:1 scale only at the beginning of the video (The "spike" near frame 20). On the rest of the video sequence target object moves from the camera back and scale-invariant descriptors can't handle this situation.

## List of references:

1. David G. Lowe. "Distinctive Image Features from Scale-Invariant Keypoints". International Journal of Computer Vision archive, November 2004.
2. Peter Ian Hansen. "Wide-Baseline Keypoint Detection and Matching with Wide-Angle Images for Vision Based Localisation". Queensland University of Technology, Brisbane, 2010. - 382
3. Edward Rosten, Reid Porter, and Tom Drummond. "Faster and better: a machine learning approach to corner detection." IEEE Transactions on Pattern Analysis and Machine Intelligence archive, January 2010. 105–119
4. Bay, Herbert, Tatje Tuytelaars, and Luc Van Gool. "Surf: Speeded up robust features." Computer Vision and Image Understanding June, 2008,
5. Calonder, Michael, et al. "Brief: Binary robust independent elementary features." Computer Vision-ECCV 2010. Springer Berlin Heidelberg, 2010. 778–797
6. Rublee, Ethan, et al. "ORB: an efficient alternative to SIFT or SURF." Computer Vision (ICCV), 2011 IEEE International Conference on. IEEE, 2011.
7. Leutenegger, Stefan, Mariantza Chli, and Roland Y. Siegwart. "BRISK: Binary robust invariant scalable keypoints." Computer Vision (ICCV), 2011 IEEE International Conference on. IEEE, 2011.
8. Alahi, Alexandre, Raphael Ortiz, and Pierre Vandergheynst. "Freak: Fast retina keypoint." Computer Vision and Pattern Recognition (CVPR), 2012 IEEE Conference on. IEEE, 2012.

## МАТЕМАТИЧЕСКАЯ МОДЕЛЬ ХОЛОДНОЙ ПРАВКИ СТАЛЬНОГО ЛИСТА НА ДЕВЯТИРОЛИКОВОЙ МАШИНЕ ФИРМЫ SMS SIEMAG МЕТАЛЛУРГИЧЕСКОГО КОМПЛЕКСА СТАН 5000

Павел Викторович Шумков

доктор физ.-мат. наук, профессор Национального исследовательского технологического университета «МИСиС», г. Москва

**THE MATHEMATICAL MODEL OF THE STEEL SHEET'S COLD STRAIGHTENING ON THE NINE-ROLLS MACHINE BY SMS SIEMAG AT THE METALLURGICAL COMPLEX MILL 5000**

Vladimir N. Shumkov, Doctor of Science, Professor of the National Research Technological University «MISiS», Moscow

### Аннотация

Предложен математический метод определения оптимальных технологических параметров холодной прямки стального листа на девятироликовой листопрессовальной машине германской фирмы SMS Siemag. Результаты исследования могут быть использованы по оптимизированному по критерию минимума максимальной скошенности листа.

### ABSTRACT

The mathematical method for the determining of the optimal technological parameters of the cold straightening of a steel sheet on the 9-rolls sheet-straightening machine by German company SMS Siemag is proposed. The results of the research can be used in the metallurgical plants in the production of the bent thick steel sheet.

Ключевые слова: толстый стальной лист, листопрессовальные машины.

1. Металлургический комплекс стан 5000 (МКС 5000). Состав оборудования МКС 5000 немецкой фирмы SMS Siemag (рис. 1): 1) склад сырья; 2) нагревательные печи Fives Stein; 3) гидравлический стан оцинки; 4) прокатная кость с уклоном 12000 т; 5) 5-ти роликовая листопрессовальная машина SMS Siemag предварительной горячей прямки листа; 6) устройство ускоренного охлаждения с секциями азотного и инертного давления; 7) 9-ти роликовая листопрессовальная машина SMS Siemag горячей прямки с уклоном 4000 т; 8) дисковый ходильник и участок замедленного охлаждения листов; 9) 9-ти роликовая листопрессовальная машина SMS Siemag горячей прямки с уклоном 4000 т; 10) инспекционный стол с вантажелем; 11) установка ультразвукового контроля листов; 12) салазки кромкообрезные погонные и ножницы предварительной резки листов; 13) дополнительные погонные повернутые резки листов; 14) шлангер.

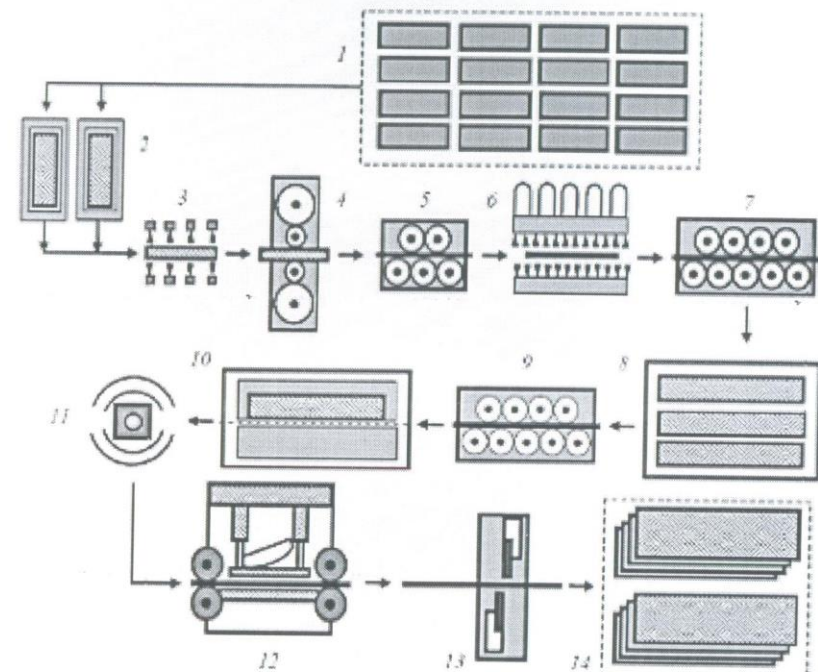


Рисунок 1. Состав оборудования и последовательность операций прямкодвижки стального листа на МКС 5000

Форма нейтральной поверхности стального листа при изгиббе, расчет коэффициентов пружинения, остаточных напряжений и критических давлений при различных дефектах и формах формовки листа рассматривались в [1–20].

2. Девятироликовая машина SMS Siemag для холодной прямки стальных листов. Девятитроликовая прямковальная машина фирмы SMS Siemag (рис. 2) предназначена для холодной прямки листа шириной 1500–4850 мм, толщиной 7–50 мм, длиной до 40 м, с пределом толщины металла до 1000 МПа при температуре листа до 150°. Максимальное усилие привод 4000 т.

Под верхней валистой роликой установлены четыре цилиндра настройки, которые могут ее поднимать, опускать, наклонять и поворачивать. Нижние входные и выходные приемные ролики смыкаются отдельными системами застежек в вертикальном положении.

3. Прямка листа на девятироликовой листопрессовальной машине SMS Siemag. Пусть  $r$  – радиус между шайбами правильными роликами;  $R$  – величина обхвате средней поверхности стального листа на 1-ом правильном ролике для нижних роликов пологательным направлением объекта считается направление вверх, для верхних роликов – вниз);  $b$  – толщина стального листа;  $R_f$  – радиус рабочих роликов;  $R_s = R + b/2$ ;  $m_1, E, P_f$  и  $P_s$  – предел текучести, модуль Юнга и модуль упругости стали при растяжении и сжатии;  $r = r_s \equiv 1/a$  – радиусы кривизны и кривизна средней линии листа в точках касания листа с роликами;  $\phi$  – углы точек касания листа и роликов ( $i = 1, \dots, 9$ ) (рис. 3).